

$$R(\tau) = D \cdot e^{-\alpha|\tau|} \quad (2)$$

$$R(\tau) = D \cdot e^{-\alpha|\tau|} \cos \beta\tau \quad (3)$$

$$R(\tau) = D \cdot e^{-\alpha|\tau|} (\cos \beta\tau + \frac{\alpha}{\beta} \sin \beta\tau) \quad (4)$$

В выражения (2,3 и 4) входят параметры корреляционной функции, Параметр  $\chi$  характеризует интенсивность затухания корреляционной функции  $\chi$  и  $\beta$ , а следовательно, и динамику протекания исследуемого процесса.

Параметр  $\beta$  характеризует частотный состав исследуемого процесса. Размерность обоих параметров корреляционной функции сек<sup>-1</sup>. Следующей числовой характеристикой случайного процесса является спектральная плотность  $S(\omega)$  случайного процесса, которая связана преобразованием Фурье с корреляционной функцией.

Спектральная плотность случайного процесса

$$S(\omega) = \frac{2}{\pi} \int_0^{f_{max}} R(\tau) \cos \omega\tau d\tau \quad (5)$$

#### ЛИТЕРАТУРА

1. ЛУРЬЕ А.Б. Статистическая динамика сельскохозяйственных агрегатов. - Л.: Колос, 1970. - 376 с.
2. ПУГАЧЕВ В.С. Теория случайных функций. - М.: Физмашгиз, 1960. - 884 с.
3. СВЕШНИКОВ А.А. Прикладные методы теории случайных функций. - М.: Наука, 1968. - 463 с.



## ДИНАМИКА ДВИЖЕНИЯ ЗЕРНИСТЫХ МАТЕРИАЛОВ С ИЗБЫТОЧНОЙ ВЛАЖНОСТЬЮ В БУНКЕРЕ

А.И.МАНСИМОВ, кандидат технических наук,  
А.Ш.ГОДЖАЕВ

Бакинский Государственный Товароведно-коммерческий институт

**Т**еоретические исследования движения зерна в трубах и бункерах сельскохозяйственного назначения основывается, как правило, на дискретной идеализированной модели. В работах Л.В.Гячева [1], В.Ф. Семнова [2], В.А. Богомятких [3] и других исследователей рассматривается зерно в виде совокупности тел сферической формы, между которыми действуют силы сухого трения. Результаты теоретических исследований хорошо совпадают с экспериментальными для идеальных сыпучих сред, к которым можно отнести и сухие зернистые материалы сельскохозяйственного производства.

Зерновые материалы с повышенной и избыточной влажностью являются плохо сыпучими, обладают малой текучестью и имеют повышенную тенден-

характеризует частотный состав процесса, позволяет выявить диапазон частот, на которые приходится максимальная дисперсия, а также установить частоту среза, характеризующую диапазон существенных частот процесса.

Если соотношения (2,3,4) подвергнуть преобразованию Фурье, то соответственно получим дробно рациональные выражения для аппроксимации спектральных плотностей:

$$S(\omega) = \frac{2D}{\pi} \frac{\alpha}{\alpha^2 + \omega^2} \quad (6)$$

$$S(\omega) = \frac{2D\alpha}{\pi} \frac{\omega^2 + \alpha^2 + \beta^2}{[(\omega^2 - (\alpha^2 + \beta^2)) + 4\alpha^2\omega^2]} \quad (7)$$

$$S(\omega) = \frac{4D\alpha}{\pi} \frac{\alpha^2 + \beta^2}{[(\omega^2 - (\alpha^2 + \beta^2)) + 4\alpha^2\omega^2]} \quad (8)$$

Перечисленные оценки являются оценками случайных процессов и дают возможность дать характеристики составляющим случайного процесса  $m_x$  и  $X^0(t)$ .

цию к образованию застойных зон в накопительных емкостях различного назначения. Теории движения подобных зерновых материалов в трубе или бункере не существует, несмотря на ее особую практическую ценность.

В нашей работе предложена механическая модель зернового материала с избыточной влажностью и получено дифференциальное уравнение движения модели в бункере конической формы

$$\frac{dl}{dx} + k_1 l = \pi \rho_s g (R - bx)^2 - \frac{2b\rho_s q^2}{(R - bx)^3} - \rho_s q' - \frac{C_2 q}{\pi(R - bx)^2} \left( \frac{1}{x} - \frac{1}{x+a} \right) - \frac{C_2 q}{\pi(R - bx)} - \sigma_1 \left( \frac{1}{x^2} - \frac{1}{x^2 + 2xa + a^2} \right) - \sigma_2 \quad (1)$$

где  $F$  - сила, действующая на элементарный объем зерн со стороны вышележащих слоев (рис. 1);  $R$  - радиус верхнего поперечного сечения бункер;

$b = \operatorname{tg} \alpha$  - тангенс угла между образующей бункера и осью ОХ;  $q$  - секундный объемный расход зернового материала;  $P_x = P_0 (1 - ux)$  - плотность зернового материала, соответствующая координате  $x$ ;  $P_0$  - плотность зернового материала, соответствующая координате  $x=0$ ;  $\gamma$  - коэффициент пропорциональности;  $\beta$  - угол укладки зерен;  $a=2 (\cos \beta + 1)$  - постоянный коэффициент зависящий от свойств зернового материала;

$k_1 = \frac{\operatorname{tg} \beta \cdot \operatorname{tg} \alpha}{2r_0 (1 + \operatorname{tg} \beta \cdot \operatorname{tg} \alpha) \cos \beta}$  - коэффициент сопротивления, зависящий от размеров и укладки зерен;

- коэффициент пропорциональности  $C_2 = \frac{n \eta_0 S_0 P_0 (\cos \beta)^{-1}}{4 \Delta p z_0 (1 + \operatorname{tg} \beta \cdot \operatorname{tg} \alpha)}$

- коэффициент сопротивления жидкостного трения зерен между собой зависящий от вязкости жидкости, смачивающий зерна, размеров и укладки зерна;  $r_0$  - радиус зерна, применяемого за шар;  $\eta_0$  - коэффициент вязкости жидкостной пленки;  $S_0$  - площадь контактов зерен;  $\Delta p$  - изменение плотности зерен, приходящейся на  $\Delta x = 4r_0 \cos \beta$ ;  $n$  - число зерен, укладываемой в поперечном сечении бун-

кера с координатой  $C_3 = \frac{2\pi C_0}{4r_0 (1 + \operatorname{tg} \beta \cdot \operatorname{tg} \alpha) \cos \beta}$  - коэффициент

сопротивления жидкостного трения зерен о стенки бункера;

$C_4 = \frac{n \pi \rho_3 \rho_1^2 r_0^2 \cos \beta}{6 k \rho_3 (1 + \operatorname{tg} \beta \cdot \operatorname{tg} \alpha) \Delta p^2}$  - коэффициент, характеризующий силы сцепления зерен между собой,  $P_3$  - плотность материала зерна;  $P_1$  - плотность жидкости,  $k$  - коэффициент, зависящий от влажности зернового материала;

$$C_2 = \frac{\pi^2 \sin \alpha}{2r_0 (1 + \operatorname{tg} \alpha \operatorname{tg} \beta) \cos \beta} \left( \frac{4}{3} \frac{r_0^2 \rho_3}{k \rho_1 \delta_1^2} + 1 \right).$$

коэффициент сцепления со стенками бункера.

Решение дифференциального уравнения (1) при постоянных значениях  $q$  и  $q'$  имеет вид

$$F = e^{-k_1 x} \left\{ \int \left[ \pi \rho_3 g (R - bx)^2 - \frac{2b \rho_2 q^2}{(R - bx)^3} - \rho_2 q' - \frac{C_2 q}{\pi (R - bx)^2} \left( \frac{1}{x} - \frac{1}{x+a} \right) - \frac{C_3 q}{\pi (R - bx)} - \sigma C_4 \left( \frac{1}{x^2} - \frac{1}{(x+a)^2} \right) - \sigma C_5 \right] e^{k_1 x} dx + C \right\} \quad (2)$$

Предположим, что зерно в емкости совершает движение под действием сил

$F_a$  и  $F_b$  (рис. 2) приложенных к ведущему  $aa'$  и ведомому  $bb'$  плунжерам.

Выполнив интегрирования выражения (2) и определив постоянную интегрирования  $C$  из условия, что при  $x=x_a$ ,  $F=F_a$  получим:

$$F = F_a e^{-k_1(x-x_a)} + a_1 [J_1(t) - J_1(t_a) e^{-k_1(x-x_a)}] + a_2 [J_2(t) - J_2(t_a) e^{-k_1(x-x_a)}] + q^2 a_3 J_3(t, t_a) + q^2 a_4 J_4(t, t_a) - a_5 q' J_5(x, x_a) - q a_6 J_6(x, x_a) + q a_7 J_7(t, t_a) + q a_8 J_8(t, t_a) + q a_9 J_9(x, x_a) - a_{10} q J_{10}(t, t_a) + a_{11} q J_{11}(t, t_a) + \frac{C_2 q}{\pi b} J_{12}(t, t_a) - \sigma C_3 J_{13}(x, x_a) + \sigma C_4 J_{14}(x, x_a) - \frac{C_5 q}{k_1} J_{15}(x, x_a); \quad (3)$$

$$J_1(t) = \frac{t^2}{k_1} - \frac{2t}{k_1^2} + \frac{2}{k_1^3}; \quad J_1(t_a) = \frac{t_a^2}{k_1} - \frac{2t_a}{k_1^2} + \frac{2}{k_1^3}; \quad (5)$$

$$t_a = x - \frac{R_0}{b}; \quad (7) \quad J_2(t) = \frac{t^3}{k_1} - \frac{3t^2}{k_1^2} + \frac{6t}{k_1^3} - \frac{6}{k_1^4}; \quad (8)$$

$$J_2(t_a) = \frac{t_a^3}{k_1} - \frac{3t_a^2}{k_1^2} + \frac{6t_a}{k_1^3} - \frac{6}{k_1^4}; \quad (9)$$

$$J_3(t, t_a) = \left[ -\frac{1}{2t^2} + \frac{1}{2t_a^2} - \frac{k_1}{t} + \frac{k_1}{t_a} + k_1 \ln \left| \frac{t}{t_a} \right| + \sum_{n=2}^{\infty} \frac{k_1^n}{n!(n-2)} (t^{n-2} - t_a^{n-2}) \right] e^{-k_1 t}; \quad (10)$$

$$J_4(t, t_a) = J_6(t, t_a) = J_8(t, t_a) = \left[ -\frac{1}{t} + \frac{1}{t_a} + k_1 \ln \left| \frac{t}{t_a} \right| + \sum_{n=2}^{\infty} \frac{k_1^n}{n!(n-1)} (t^{n-1} - t_a^{n-1}) \right] e^{-k_1 t}; \quad (11)$$

$$J_1(x, x_a) = J_7(x, x_a) = 1 - e^{-k_1(x-x_a)}; \quad (12)$$

$$J_2(x, x_a) = \frac{x}{k_1} - \frac{1}{k_1^2} - \left( \frac{x_a}{k_1} - \frac{1}{k_1^2} \right) e^{-k_1(x-x_a)}; \quad (13)$$

$$J_3(x, x_a) = \left[ \ln \left| \frac{x}{x_a} \right| + \sum_{n=1}^{\infty} \frac{k_1^n}{n!n} (x^n - x_a^n) \right] e^{-k_1 x} \quad (14)$$

$$J_5(x, x_a) = \left\{ \ln \left| \frac{x+a}{x_a+a} \right| + \sum_{n=1}^{\infty} \frac{k_1^n}{n!n} [(x+a)^n - (x_a+a)^n] \right\} e^{-k_1(x+a)}; \quad (15)$$

$$J_6(t, t_a) = J_7(t, t_a) = J_8(t, t_a) = \left[ \ln \left| \frac{t}{t_a} \right| + \sum_{n=1}^{\infty} \frac{k_1^n}{n!n} (t^n - t_a^n) \right] e^{-k_1 t} \quad (16)$$

$$J_9(x, x_a) = \left[ -\frac{1}{x} + \frac{1}{x_a} + k_1 \ln \left| \frac{x}{x_a} \right| + \sum_{n=2}^{\infty} \frac{k_1^n}{n!(n-1)} (x^{n-1} - x_a^{n-1}) \right] e^{-k_1 x} \quad (17)$$

$$J_{10}(x, x_a) = \left\{ \frac{x-a}{(x+a)(x_a+a)} + k_1 \ln \left| \frac{x+a}{x_a+a} \right| + \sum_{n=2}^{\infty} \frac{k_1^n}{n!(n-1)} [(x+a)^{n-1} - (x_a+a)^{n-1}] \right\} e^{-k_1(x+a)}; \quad (18)$$



$$a = 2r_n(1 + \cos\beta) \quad (19)$$

$$a_1 = \pi\rho_0hg \quad (20)$$

$$a_1 = \frac{2\rho_0(h + \gamma R)}{h^3} \quad (22)$$

$$a_4 = \frac{2\rho_0\gamma}{b^2} \quad (23)$$

$$a_6 = \rho_0\gamma \quad (25)$$

$$a_7 = \frac{C_2}{\pi R^2} \quad (26)$$

$$a_9 = \frac{C_2}{\pi(ub + R)^2} \quad (28)$$

$$a_{10} = \frac{C_2}{\pi(ab + R)} \quad (29)$$

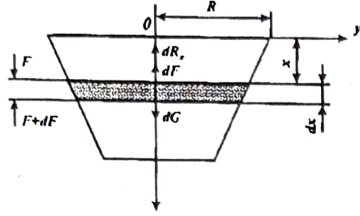


Рис. 1. Силы действующие на элементарно тонкий слой зернового материала

Предположив, что при  $x=x_b$ ,  $F=F_b$  выразим значение силы  $F$  через  $F_b$ , соответствующая координату  $x_b$

$$\begin{aligned} F = F_b e^{-k_1(x-x_b)} + a_1[J_1(t) - J_1(t_b)e^{-k_1(x-x_b)}] + a_2[J_2(t) - \\ J_2(t_b)e^{-k_1(x-x_b)}] + q^2 a_3 J_3(t, t_b) + q^2 a_4 J_4(t, t_b) - a_5 q J_5(x, x_b) - \\ - q^2 a_6 J_6(x, x_b) - q a_7 J_7(x, x_b) + q a_8 J_8(t, t_b) + q a_9 J_9(t, t_b) + \\ + q a_{10} J_{10}(x, x_b) - a_{11} q J_{11}(t, t_b) + \frac{C_2 q}{\pi b} J_{12}(t, t_b) - \\ - \sigma C_1 J_{13}(x, x_b) + \sigma C_2 J_{14}(x, x_b) \end{aligned} \quad (30)$$

В этом уравнении неизвестные, содержащие  $x_b$  и  $t_b$  могут быть определены по соответствующим формулам (5), (7), (9) .... (18); заменив в них координату  $x_a$  на  $x_b$ , а координату  $t_a$  на  $t_b$ . Постоянные коэффициенты  $a, a_1 \dots a_{10}$  зависят от свойств и состояния зернового материала и могут быть определены по формулам (19)... (29).

Приравняв значение силы  $F$  из формул (3) и (30), получим

$$\begin{aligned} F_b = F_b e^{-k_1(x-x_b)} + a_1[J_1(t_b) - J_1(t_a)e^{-k_1(x_b-x_a)}] + a_2[J_2(t_b) - \\ - J_2(t_a)e^{-k_1(x_b-x_a)}] + q^2 a_3 J_3(t_a, t_b) e^{-k_1(x_b-x_a)} + q^2 a_4 J_4(t_a, t_b) e^{-k_1(x_b-x_a)} + \\ + a_5 q [1 + e^{-k_1(x_b-x_a)}] + q^2 a_6 J_5(x_a, x_b) + q a_7 J_6(x_a, x_b) e^{-k_1(x_b-x_a)} + \\ + q a_8 J_7(t_a, t_b) e^{-k_1(x_b-x_a)} + q a_9 J_8(t_a, t_b) e^{-k_1(x_b-x_a)} + q a_{10} J_9(t_a, t_b) e^{-k_1(x_b-x_a)} + \\ + a_{11} q J_{10}(t_a, t_b) e^{-k_1(x_b-x_a)} + a_{12} q J_{11}(t_a, t_b) e^{-k_1(x_b-x_a)} + \\ + \frac{\sigma C_2}{k_1} [1 + e^{-k_1(x_b-x_a)}]; \end{aligned} \quad (31)$$

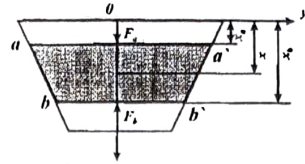


Рис. 2. Движение связанного зернового материала в конической емкости под действием ведущего aa' и ведомого bb' плунжеров.

Выражение (31) устанавливает зависимость расхода из бункера, связанного зернового материала и силами, действующими на ведущие aa' и ведомое сечение bb'. Оно может быть использовано для определения установившегося расхода  $g$  по заданным силам  $F_a$  и  $F_b$ , либо для определения сил при известном расходе.

Предложив, что между абсолютно гладкими зернами нет слоя жидкости ( $\tau=0$ ;  $\delta=0$ ) и плотность зернового материала во всех сечениях бункера одинакова ( $\gamma=0$ ) уравнение (31) получает вид найденный в работе (2) Л.В.Гячевым.

$$J_1(t_a, t_b) = \frac{1}{2t_a^2} + \frac{k_1}{t_a} - \frac{1}{2t_b^2} - \frac{k_1}{t_b} + k_1^2 \ln \left| \frac{t_b}{t_a} \right| + \sum_{n=3}^{\infty} \frac{k_1^n}{n!(n-2)} (t_b^{n-2} - t_a^{n-2}); \quad (32)$$

$$J_4(t_a, t_b) = J_6(t_a, t_b) = J_8(t_a, t_b) = \left[ \frac{1}{t_a} - \frac{1}{t_b} + k_1 \ln \left| \frac{t_b}{t_a} \right| + \sum_{n=2}^{\infty} \frac{k_1^n}{n!(n-1)} (t_b^{n-1} - t_a^{n-1}) \right] e^{-k_1 t} \quad (33)$$

$$J_2(x_a, x_b) = \frac{x_b}{k_1} - \frac{1}{k_1^2} + \left( \frac{x_a}{k_1} - \frac{1}{k_1^2} \right) e^{-k_1(x_b-x_a)}; \quad (34)$$

$$J_3(x_a, x_b) = \ln \left| \frac{x_a}{x_b} \right| + \sum_{n=1}^{\infty} \frac{k_1^n}{n!n} (x_a^n - x_b^n); \quad (35)$$

$$J_5(t_a, t_b) = J_7(t_a, t_b) = J_9(t_a, t_b) = \ln \left| \frac{t_a}{t_b} \right| + \sum_{n=1}^{\infty} \frac{k_1^n}{n!n} (t_a^n - t_b^n) \quad (36)$$

$$J_1(x_a, x_b) = \ln \left| \frac{x_b}{x_a + a} \right| + \sum_{n=1}^{\infty} \frac{k_1^n}{n!n} [(x_b + a)^n - (x_a + a)^n] \quad (37)$$

$$J_4(x_a, x_b) = \frac{1}{x_b} - \frac{1}{x_a} + k_1 \ln \left| \frac{x_a}{x_b} \right| + \sum_{n=2}^{\infty} \frac{k_1^n}{n!(n-1)} (x_a^{n-1} - x_b^{n-1}); \quad (38)$$

$$J_6(x_a, x_b) = \frac{1}{x_a + a} - \frac{1}{x_b + a} + k_1 \ln \left| \frac{x_b + a}{x_a + a} \right| + \sum_{n=2}^{\infty} \frac{k_1^n}{n!(n-1)} [(x_b + a)^{n-1} - (x_a + a)^{n-1}]. \quad (39)$$

## ЛИТЕРАТУРА

1. Гячев Л.В. Движение сыпучих материалов в трубах и бункерах. - М.: Машиностроение, 1968. - 184 с.
2. Семенов В.Ф. Механико-технологические основы истечения зернистых сельскохозяйственных материалов из емкостей: Автореф. дис. докт. техн. наук. - Новосибирск, 1980 - 450 с.
3. Богомыжных В.А. Теория и расчет бункеров для зернистых материалов. - Ростов н/Д. Изд-во РГУ. 1973. - 147с.